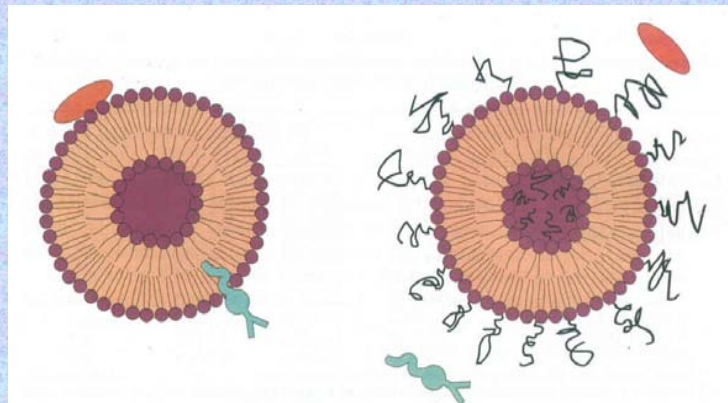


# Liposzómák diagnosztikai és terápiás alkalmazásai I.

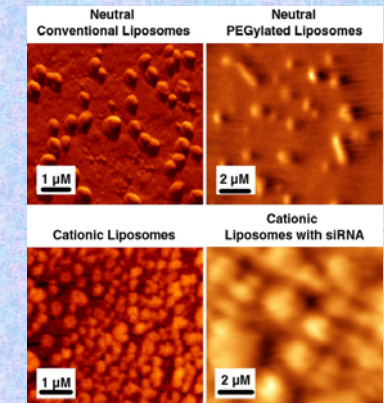
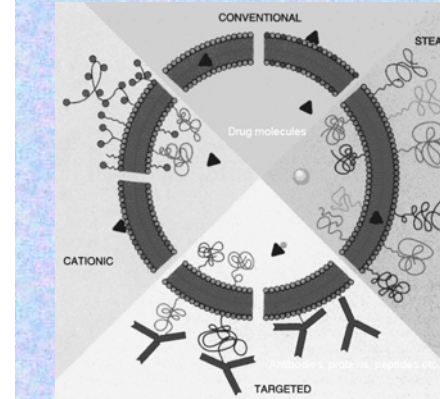
Dr. Voszka István

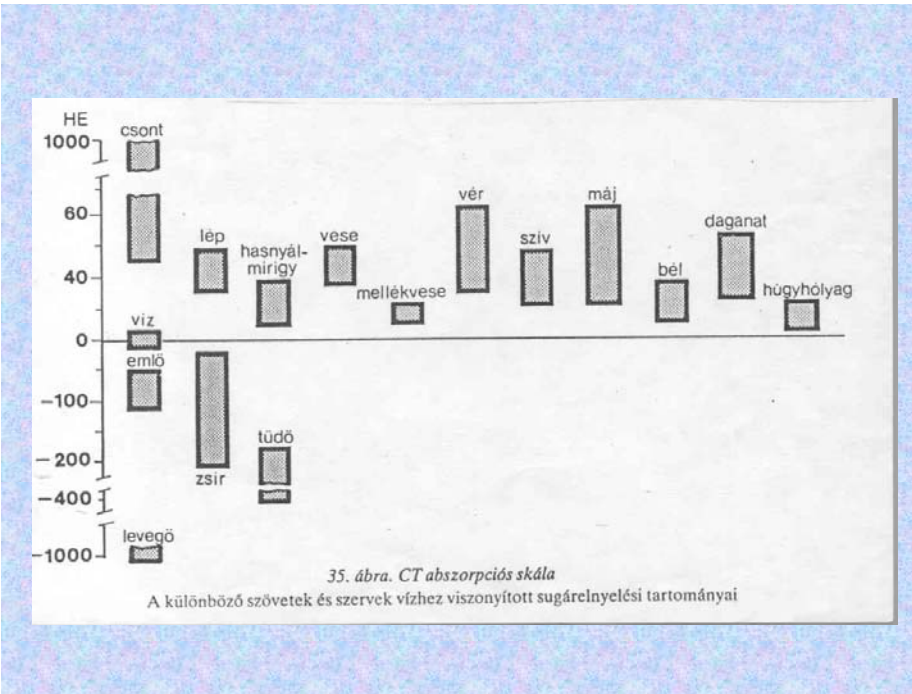
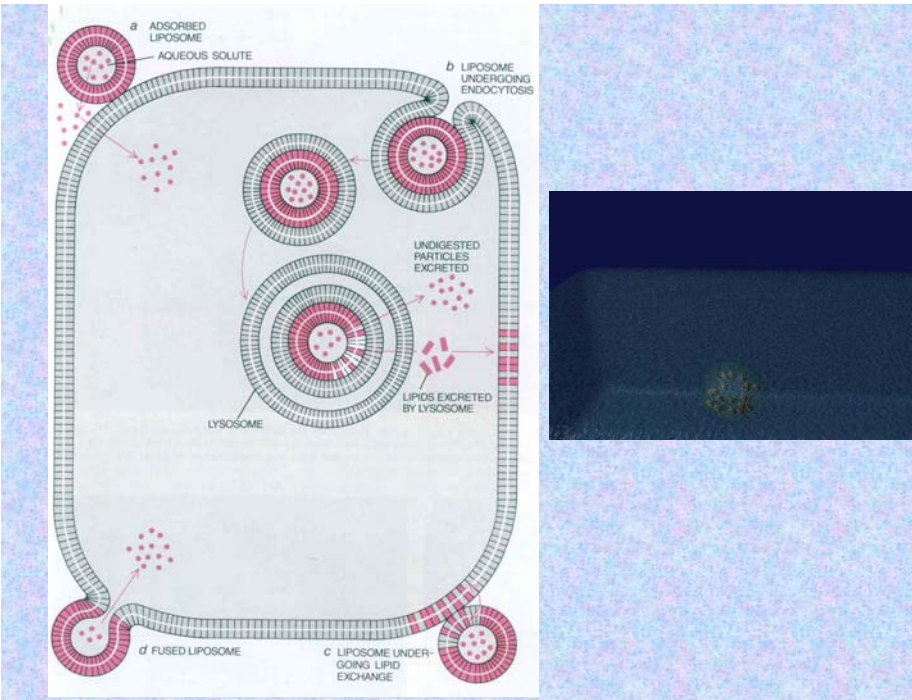
- Előny:**
- célzott bejuttatás
  - kevesebb mellékhatás
  - kisebb dózis elegendő

- máj, lép vizsgálata vagy kezelése közönséges (C) liposzómákkal
- RES (MPS) telítése „üres” liposzómákkal → utána más területek vizsgálhatók
- „stealth” (S) liposzómák az immunrendszeret jobban ki tudják kerülni
- speciális markerek, receptorok alkalmazása (immunliposzómák) → szervspecifikus célbajuttatás

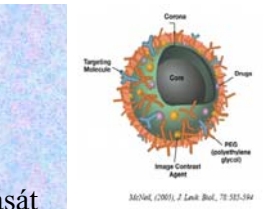


## Liposzómák csoportosítása





**Diagnosztikai alkalmazások:** diagnosztikában használatos anyagokat zárnak a liposzómákba



### 1. Röntgen-kontrasztanyag

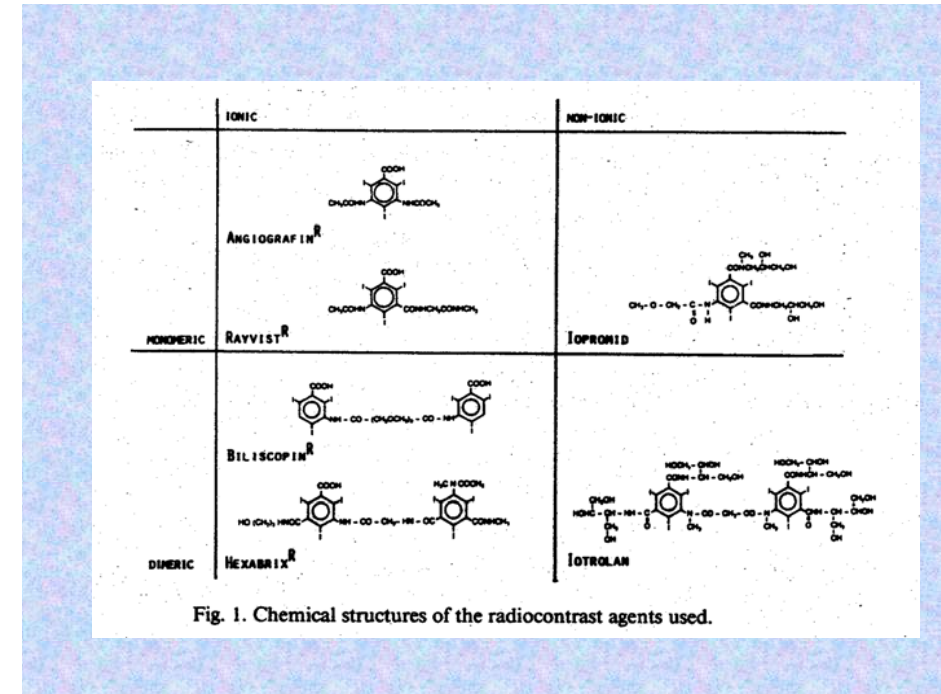
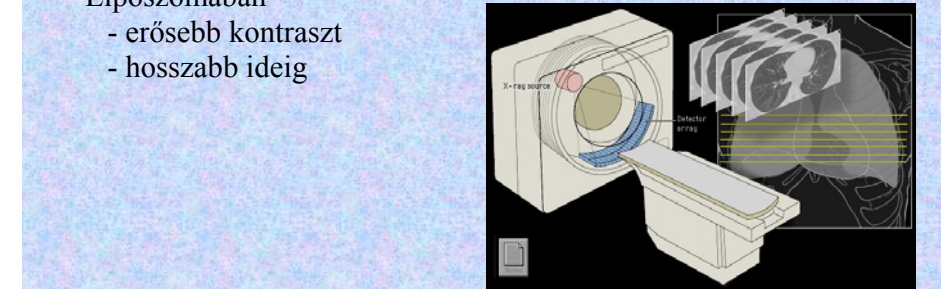
Pl. CT vizsgálatnál az egyes képelemek denzitását határozzák meg egy relatív skálán (Hounsfield-skála)

$$HE = \frac{\mu - \mu_{\text{víz}}}{\mu_{\text{víz}}} * 1000$$

A lágy szövetek relatív denzitása szük tartományban van, ezért gyakran kontrasztanyag szükséges.

Liposzómában

- erősebb kontraszt
- hosszabb ideig



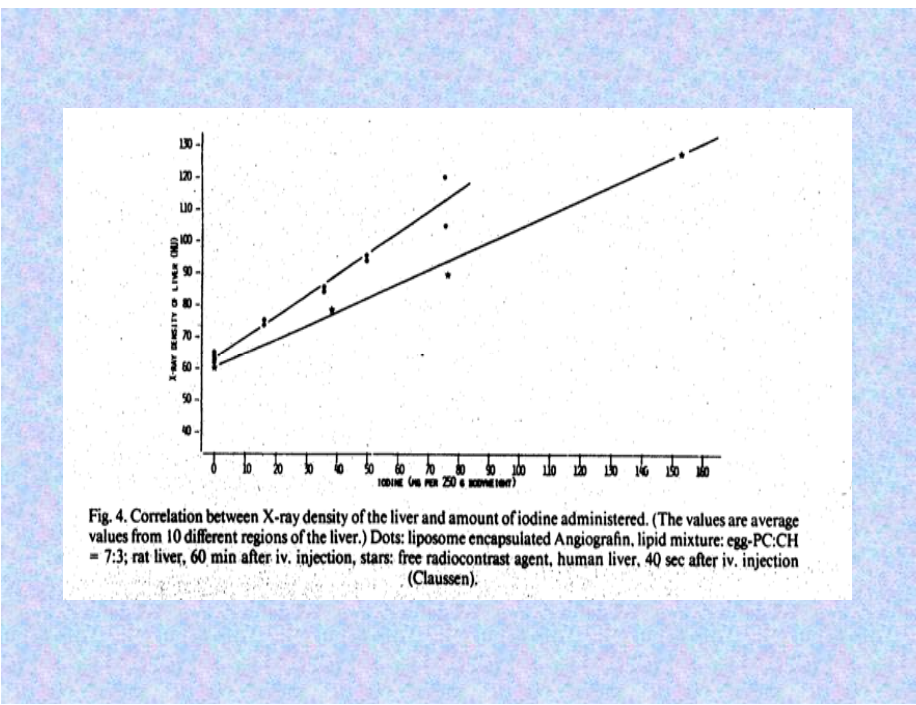


Fig. 4. Correlation between X-ray density of the liver and amount of iodine administered. (The values are average values from 10 different regions of the liver.) Dots: liposome encapsulated Angiografin, lipid mixture: egg-PC:CH = 7:3; rat liver, 60 min after iv. injection; stars: free radiocontrast agent, human liver, 40 sec after iv. injection (Claussen).

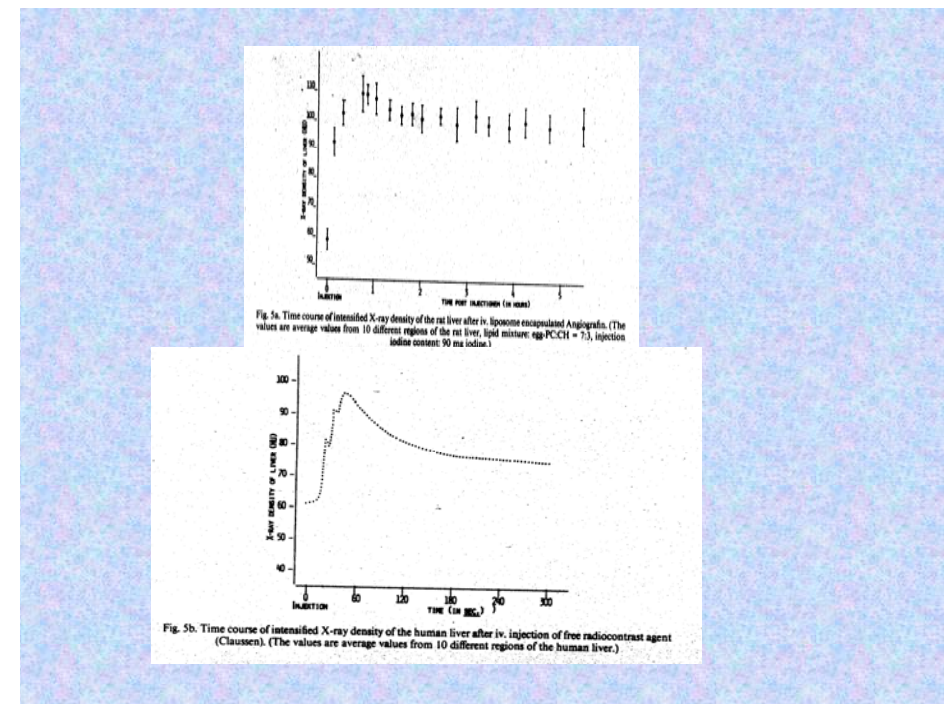


Fig. 5a. Time course of intensified X-ray density of the rat liver after iv. liposome encapsulated Angiografin. (The values are average values from 10 different regions of the rat liver, lipid mixture: egg-PC:CH = 7:3, injection iodine content: 90 mg iodine.)

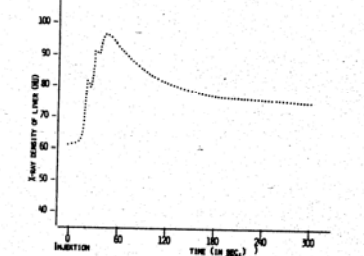


Fig. 5b. Time course of intensified X-ray density of the human liver after iv. injection of free radiocontrast agent (Claussen). (The values are average values from 10 different regions of the human liver.)

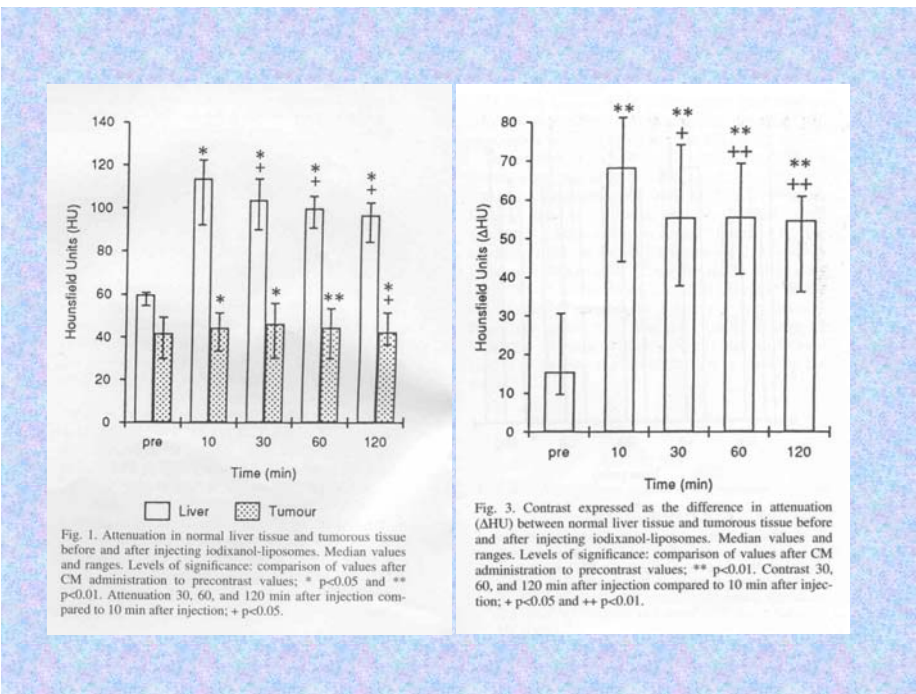


Fig. 3. Contrast expressed as the difference in attenuation ( $\Delta$ HU) between normal liver tissue and tumorous tissue before and after injecting iodoxanol-liposomes. Median values and ranges. Levels of significance: comparison of values after CM administration to precontrast values: \*  $p<0.05$  and \*\*  $p<0.01$ . Attenuation 30, 60, and 120 min after injection compared to 10 min after injection: +  $p<0.05$ .

## 2. Radioaktív izotópek

- Liposzómába zárva specifikusabb kötődés,  
pl. gyulladásos góchoz, tumorhoz

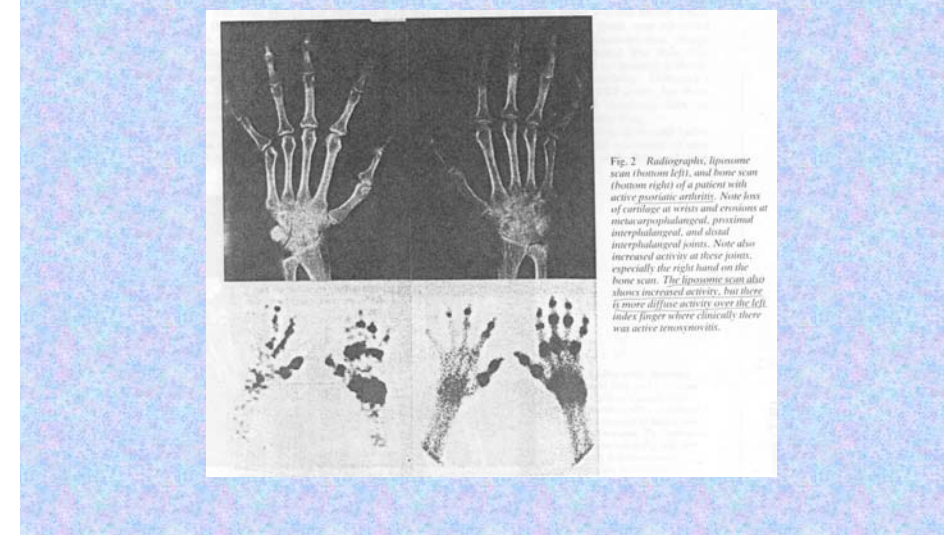
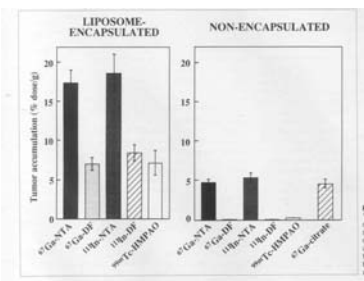
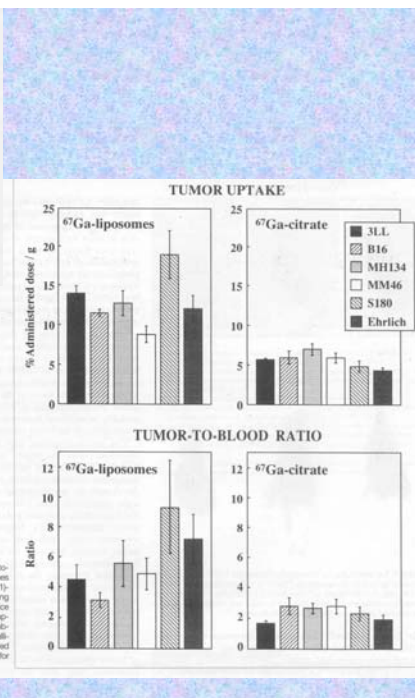


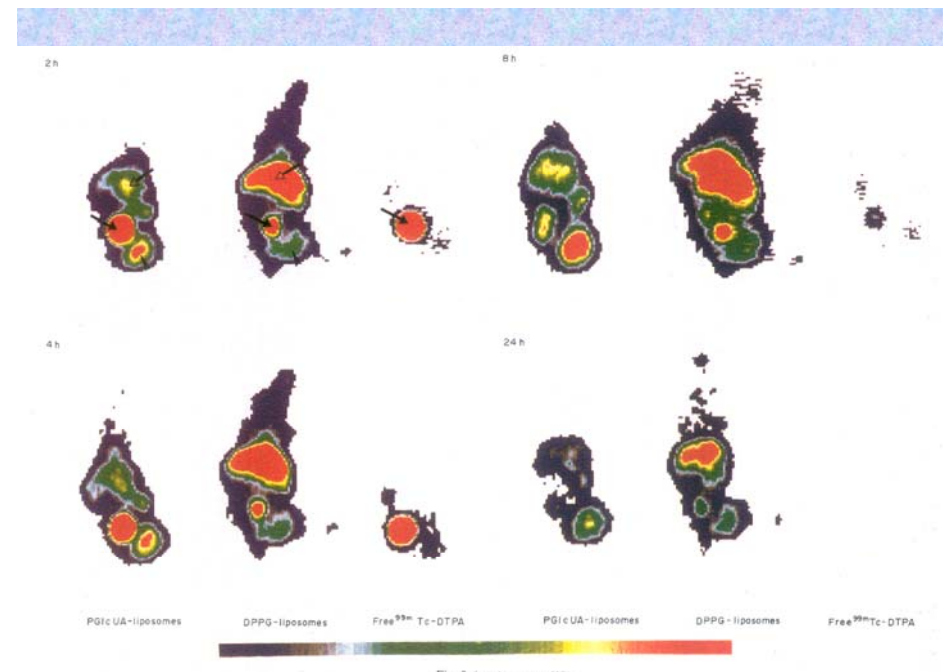
Fig. 2. Radiographic, liposome scan (bottom left), and bone scan (bottom right) of a patient with active psoriatic arthritis. Note loss of cartilage at wrists and erosions at metacarpophalangeal, proximal interphalangeal, and distal interphalangeal joints. Note also increased activity at these joints, especially the right hand on the bone scan. The liposome scan also shows increased activity, but there is more diffuse activity over the left index finger where clinically there was active tenosynovitis.



**FIGURE 1.** Tumor accumulation of  $^{67}\text{Ga}$ -In and  $^{99m}\text{Tc}$  in sarcoma 180-bearing mice at 24 h after administration of liposome-encapsulated or non-encapsulated radionuclide-ligand complexes. Small open circles indicate the mean administered dose per mouse. The dose was calculated from DPG and CH molar ratio, 0.1:1. Bars indicate the mean  $\pm$  s.d. for five animals.

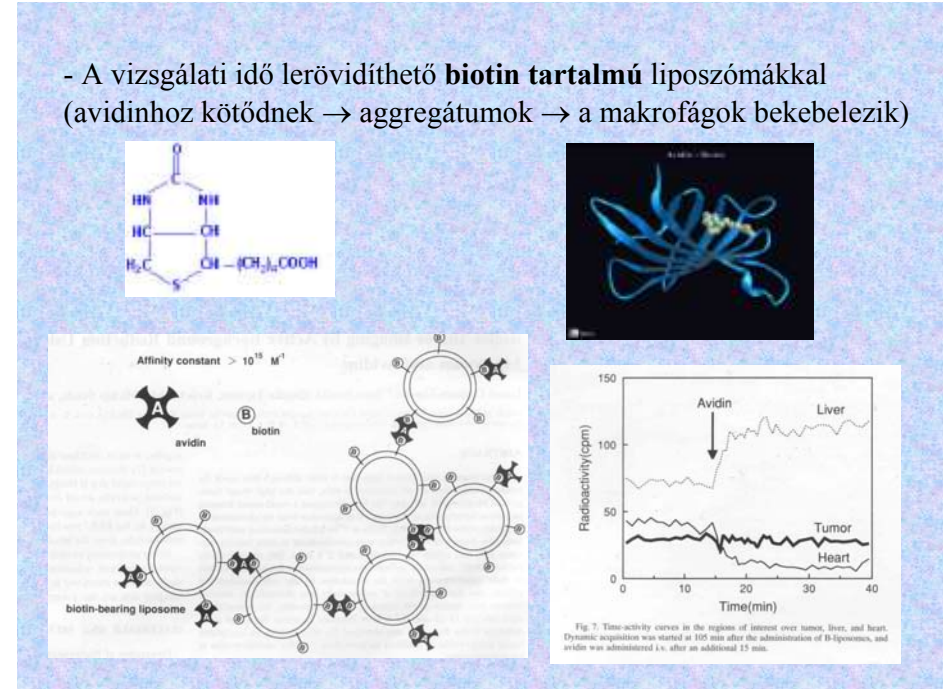
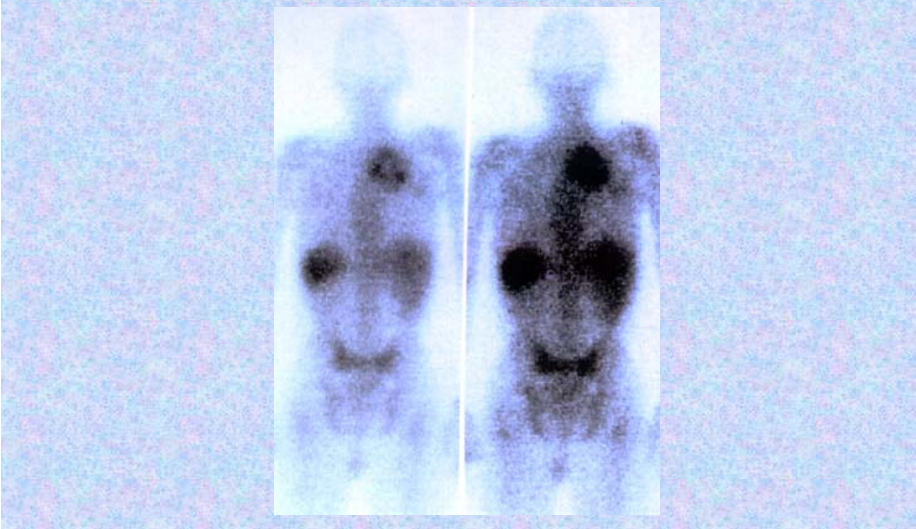


**FIGURE 6.** Tumor uptake and tumor-to-blood ratio of  $^{67}\text{Ga}$  delivered by liposomes in various tumor models. DPG/CH (2:1)-encapsulated  $^{67}\text{Ga}$ -NTA and  $^{67}\text{Ga}$ -citrate (199m-Tc-NTA) were administered to mice bearing various tumors and the tumor uptake was measured at 24 h after administration. Gallium-67 citrate was also administered similarly. Bars indicate the mean  $\pm$  s.d. for five to six animals.

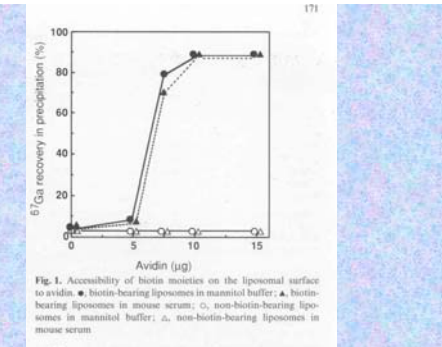
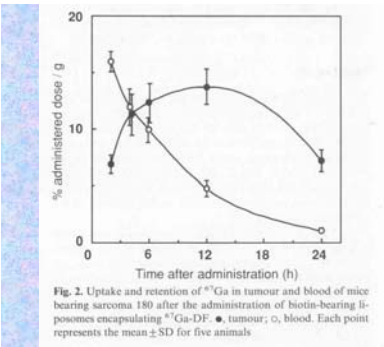


**Fig. 2 (caption on p. 410).**

## Szintigram 24 ill. 48 órával az izotópot tartalmazó Stealth liposzóma beadása után (hátrólnézet)



**Fig. 7.** Time-activity curves in the regions of interest over tumor, liver, and heart. Dynamic acquisition was started at 105 min after the administration of B-liposomes, and avidin was administered i.v. after an additional 15 min.



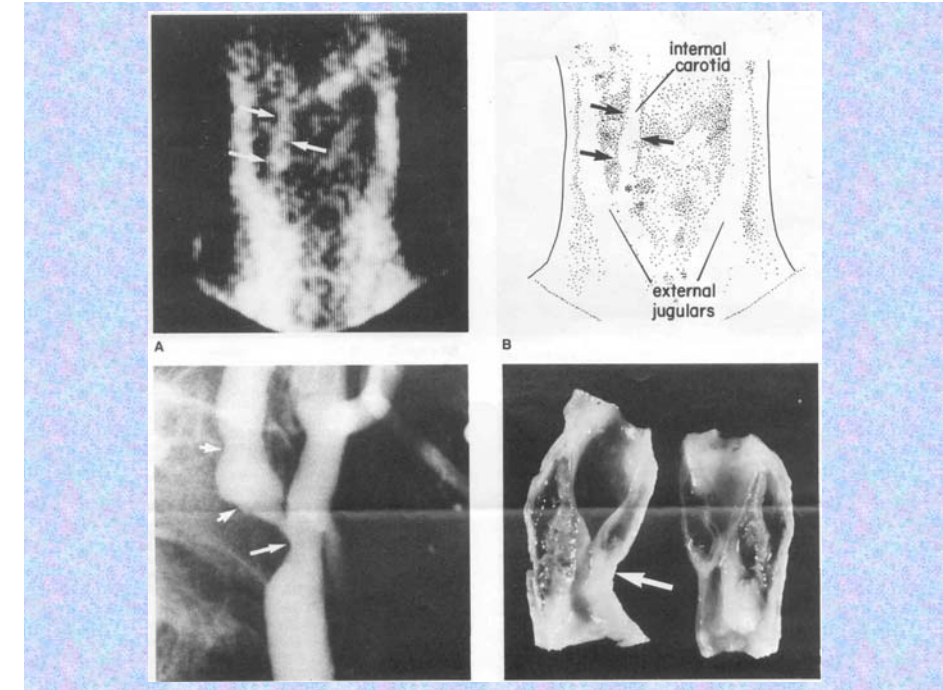
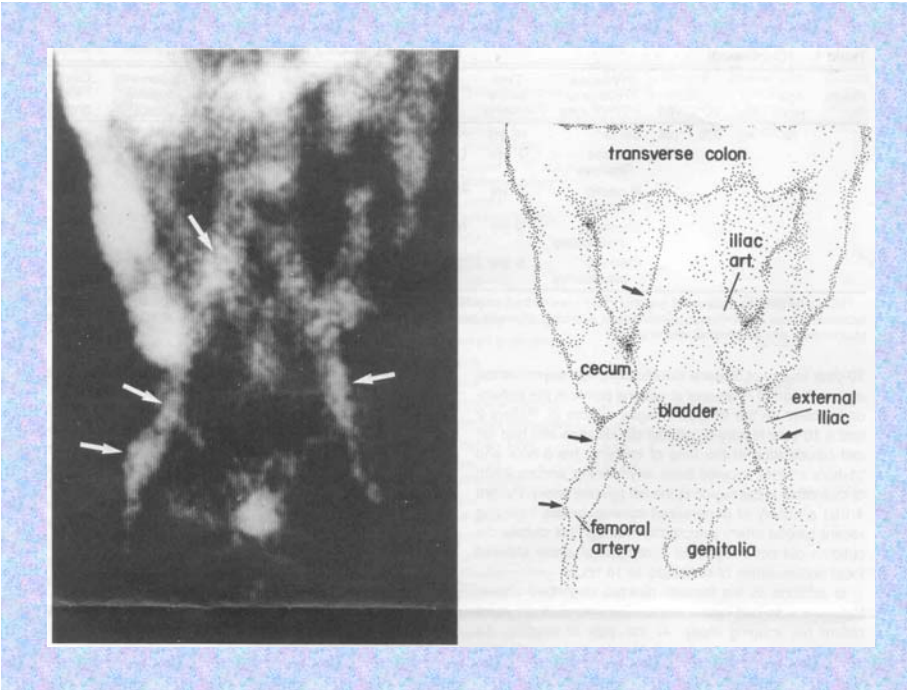
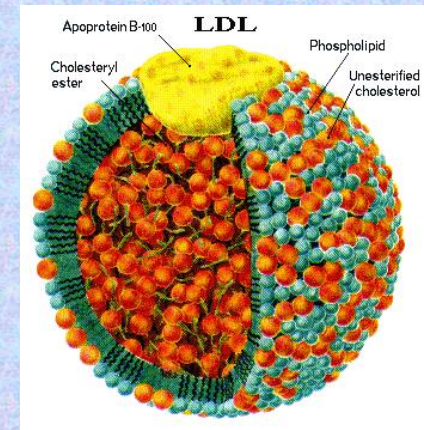
**Table 1.** Effect of post-administration of avidin on the tissue distribution of  $^{67}\text{Ga}$  after the administration of biotin-bearing liposomes encapsulating  $^{67}\text{Ga}$ -DF

Tissue	% Administered dose/g tissue			
	Control	Avidin treated		
	10 μg	20 μg	30 μg	
Tumour	12.06 $\pm$ 1.57 (100)	12.51 $\pm$ 1.73 (104)	11.03 $\pm$ 1.56 (91)	10.50 $\pm$ 1.72 (87)
Liver	7.82 $\pm$ 1.14 (100)	14.15 $\pm$ 2.21 (181)**	19.22 $\pm$ 2.39 (246)**	18.08 $\pm$ 2.13 (231)**
Spleen	11.26 $\pm$ 1.62 (100)	10.96 $\pm$ 1.18 (97)	17.00 $\pm$ 2.21 (151)**	16.32 $\pm$ 2.15 (145)**
Kidney	3.35 $\pm$ 0.56 (100)	3.57 $\pm$ 0.83 (107)	2.93 $\pm$ 0.40 (88)	2.43 $\pm$ 0.24 (72)**
Blood	13.48 $\pm$ 1.82 (100)	13.32 $\pm$ 1.21 (98)	3.85 $\pm$ 0.18 (28)**	0.76 $\pm$ 0.10 (5)**
Tumour/blood ratio	0.89	0.94	2.86	13.81

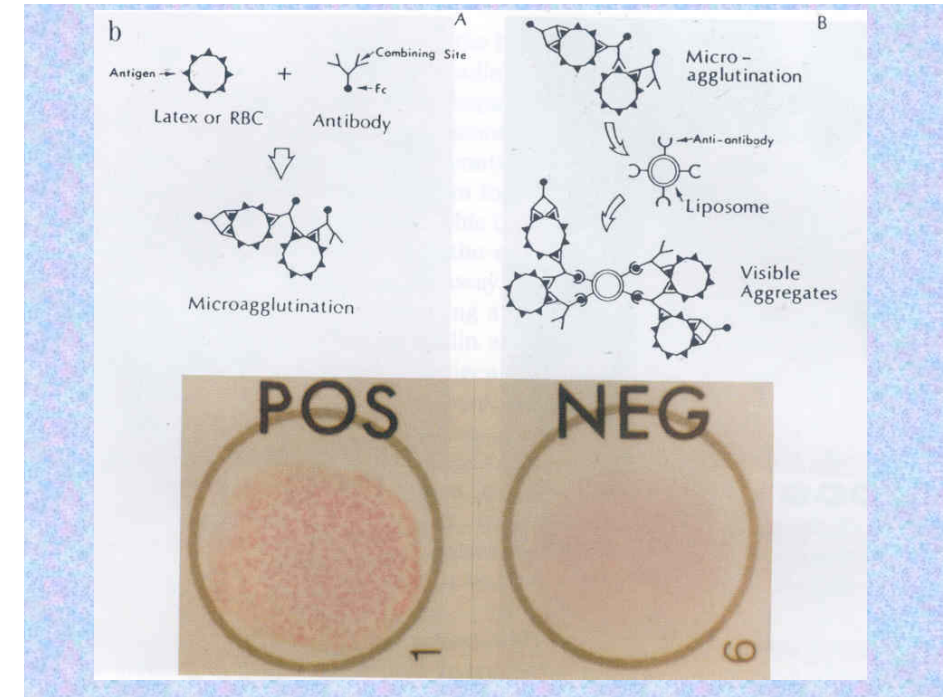
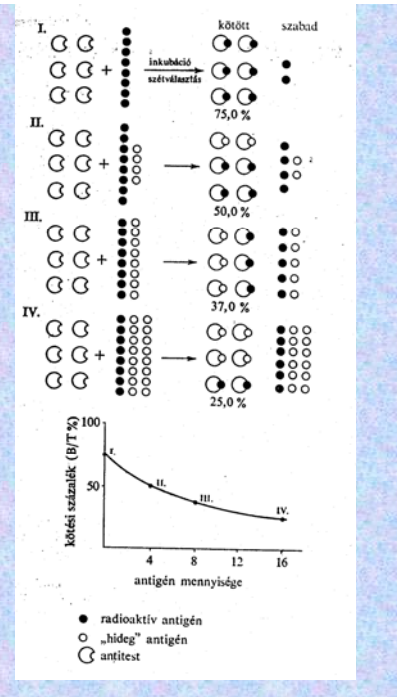
Each value represents the mean  $\pm$  SD for five animals  
\*\* Statistically significant difference from the control group at  $P < 0.01$

- **LDL** (low density lipoprotein – a koleszterin anyagcserében játszik szerepet; specifikus sejtfelszíni receptorhoz kötődik – immunliposzómához hasonló viselkedés) – pl. érelmeszesedéses gókok kimutatása

LDL összetevői	
Fehérje	22 %
Foszfolipid	22 %
Koleszterin	8 %
Koleszterinészter	40 %
Triglicerid	8 %



**LIA (liposome immuno assay)**  
 A liposzóma antigént tartalmaz és radioizotópot vagy fluoreszcens jelzőanyagot. Ismert mennyiségű antitest hozzáadása esetén az antigén koncentráció meghatározására alkalmas.

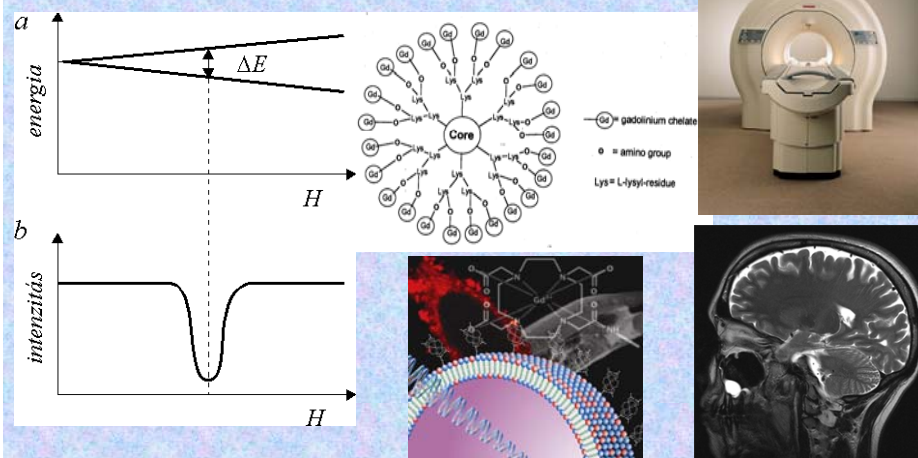


### 3. MR-kontrasztanyagok

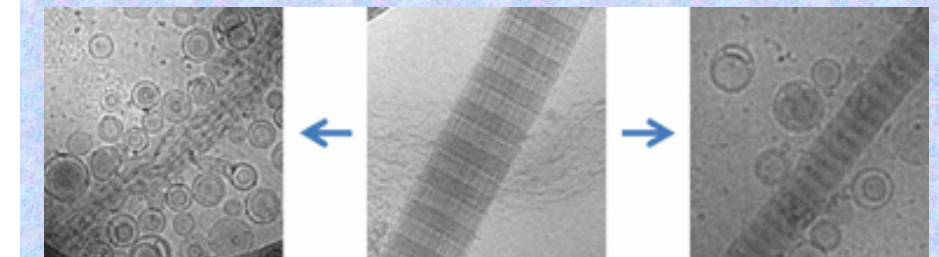
Mágneses momentummal rendelkező atommagok mutathatók ki (pl.  $^1\text{H}$ ,  $^{31}\text{P}$ )

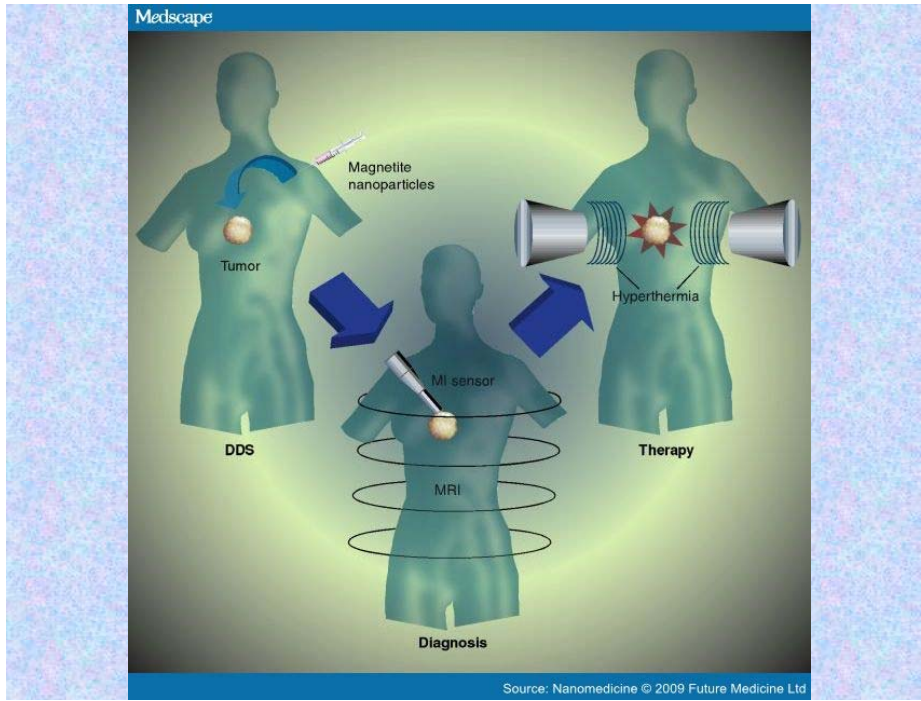
Paramágneses anyagok (gadolínium, vas-oxid, mangán-tartalmú komplexek) használhatók kontrasztanyagként.

Liposzómába zárva specifikusabban juttathatók célba.



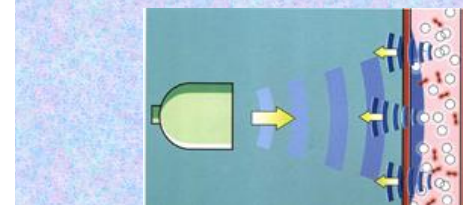
MR kontrasztanyag liposzómában



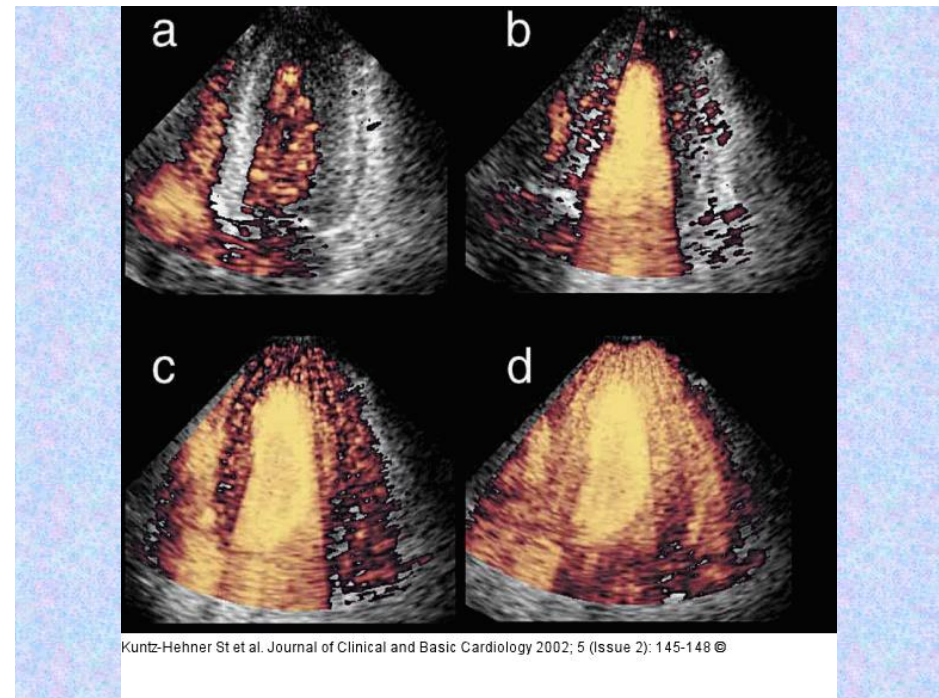
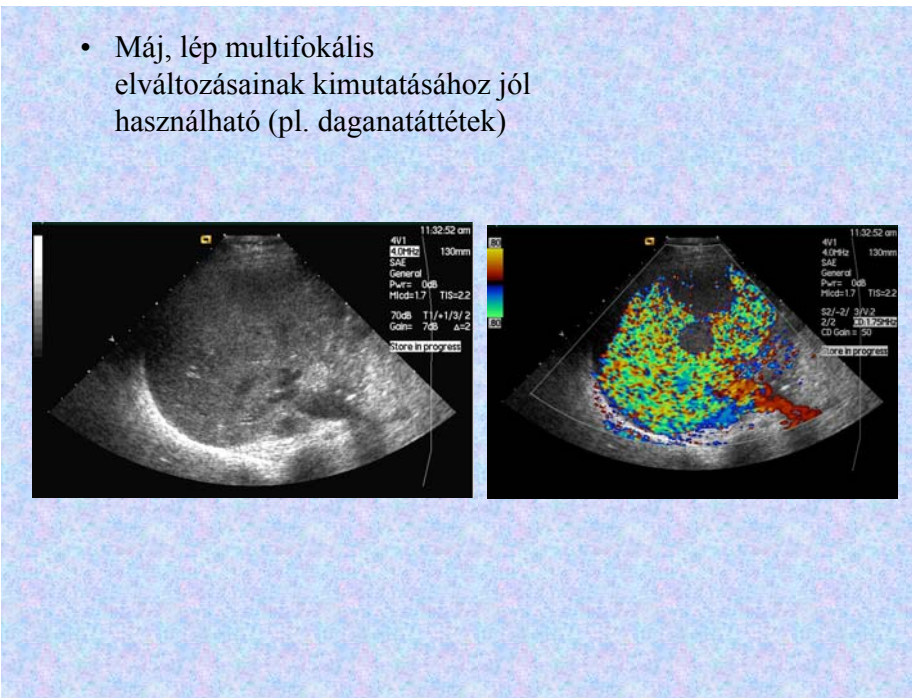


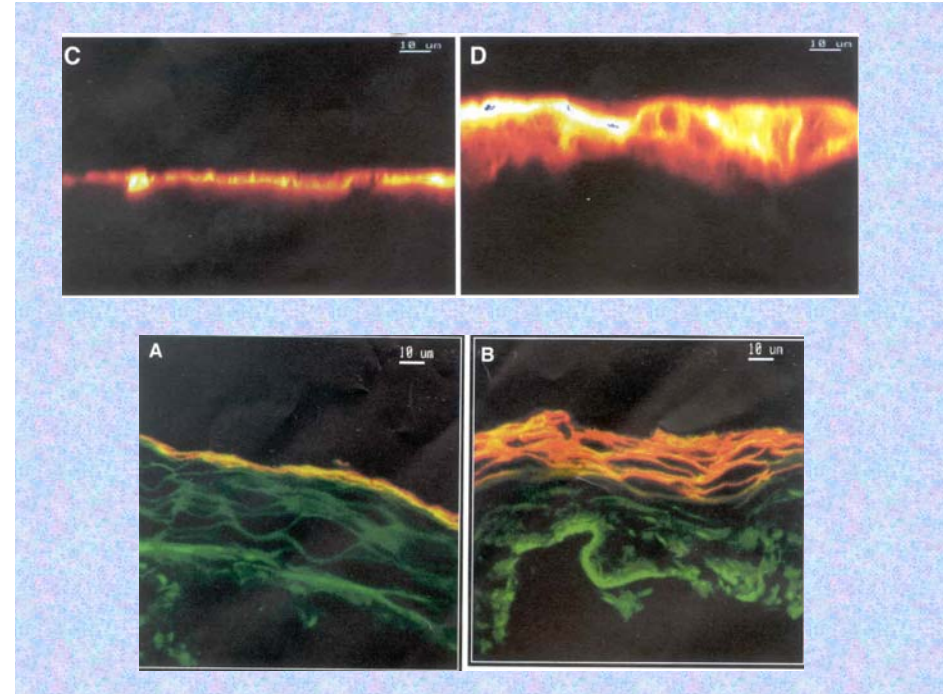
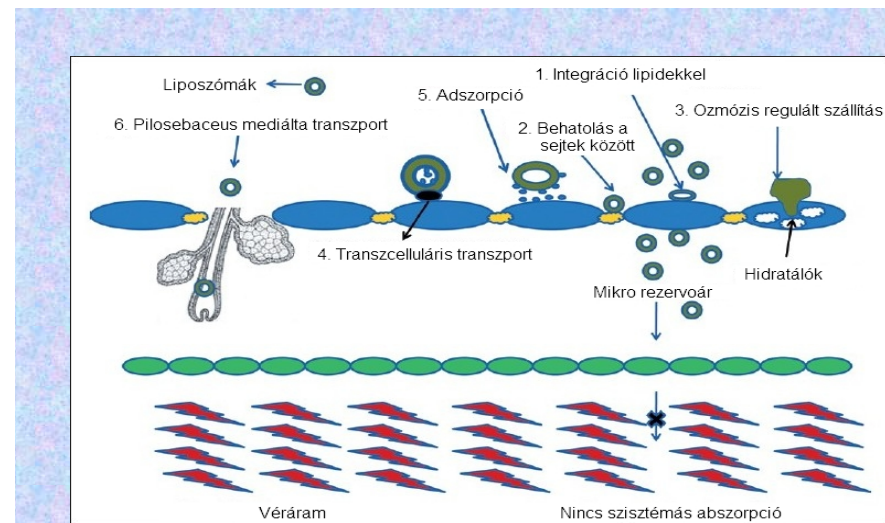
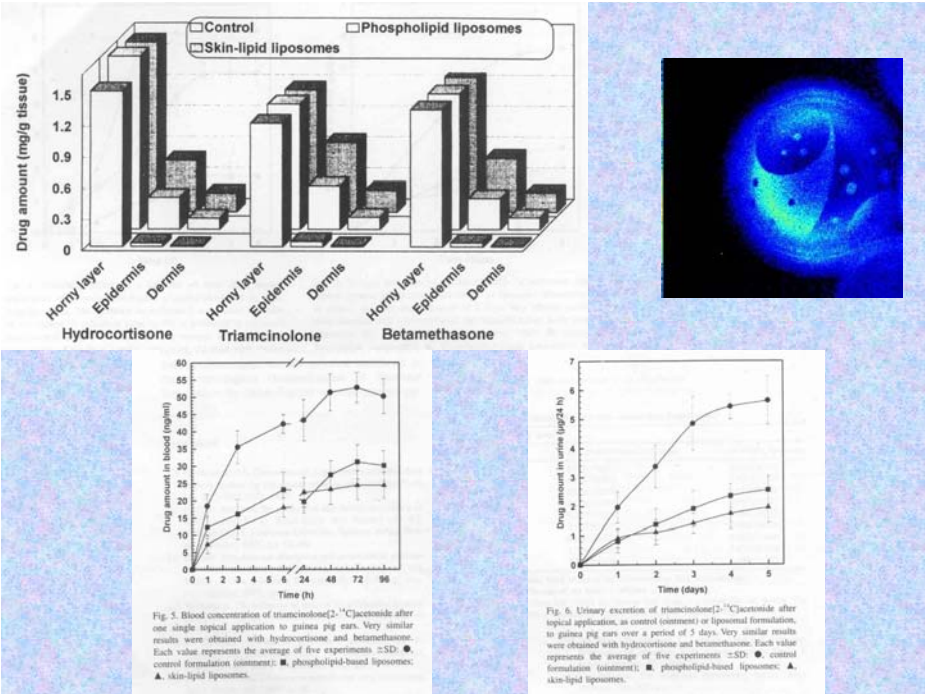
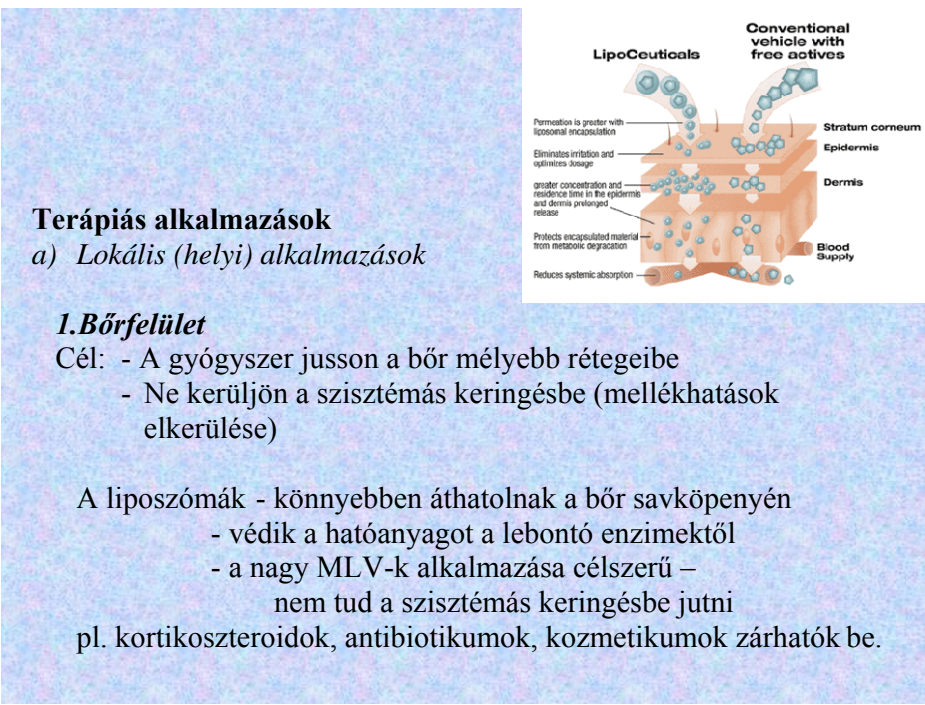
#### 4. UH kontrasztanyagok

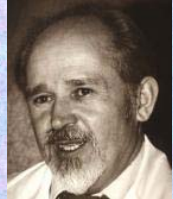
- Az ultrahangos képalkotás biztonságos, noninvazív eljárás
- A kép minőségét javítja a kontrasztanyag alkalmazása (pl. levegőbuborékok) - erős UH reflexió
- Liposómába zárva a levegőt (mikrobuborék) a kontrasztthatás javítható
- pl. echocardiográfia: a szövet-vér határ jól elkülöníthető, az esetleges trombus kimutatható



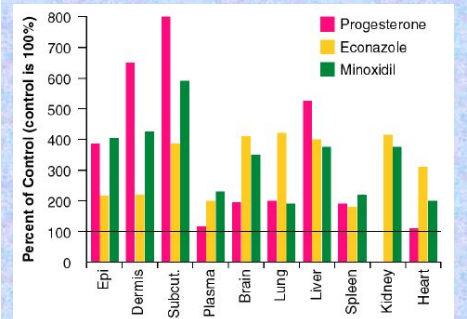
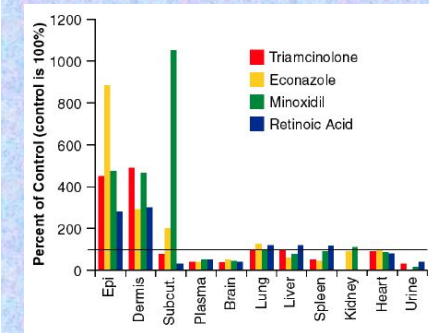
- Máj, lép multifokális elváltozásainak kimutatásához jól használható (pl. daganatáttétek)







Michael Mezei  
1927-1997



Helyi érzéstelenítők

- Lidocaine

- liposzómás krém 4% hatóanyagtartalommal: elamax® illetve LMX4®



## Kozmetika

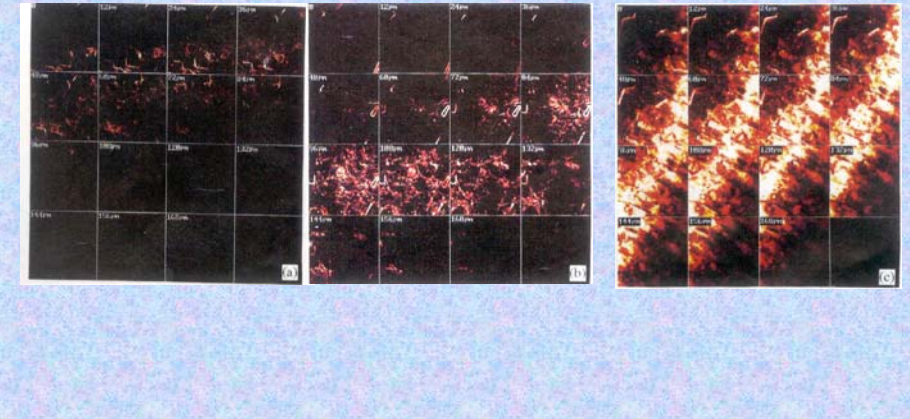


Some of the liposomal cosmetic products in Europe, the US and Japan.

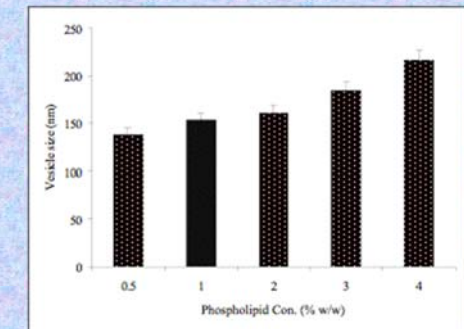
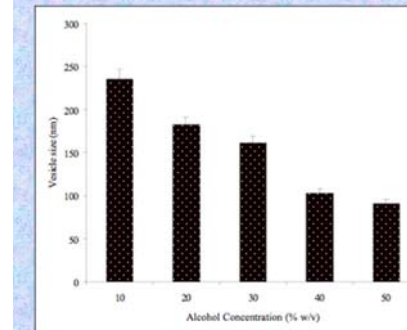
Product	Marketer	Liposomes and key ingredients
Capture Planitude	Christian Dior	liposomes in gel with ingredients
Effect du Soleil Niosomes	L'Oréal	tanning agents in liposomes
Nactosomes Esprit de Soleil Formule Liposomes Gel	Lancôme (L'Oréal)	glyceropolyether with moisturizers
Fundamental Care Future Perfect Skin Gel	Payot (Ferdinand Muellheim)	vitamins, retinolacetate non-ionic lipid thymosin, hyaluronic acid
Emulsion Nrl Complexe Liposome FRE Gel Lissant Contour des Yeux	Chanel	liposome gel
Heliotrop Liposome Activ-Pflege Intensive Reducer Anti-Cellulit Gel	Elektrobiot (Ernst Kunze GmbH)	TMF, vitamin A palmitate, vitamin E, cerebroside, ceramide, phospholipid
Inovita Kao Sofina Emoliel Cream & Moisture Essence	Helena Rubinstein	Peptides, trace elem. minerals, vitam.
La Myrell Contour & Liposomes Repair Gel Konzentrata Liposome Aktions Gel	Pharm/Apotheke	ammonium liquid, demodacine
Liposome Skin Vital Complex Micro 2000 Complex Anti-Stress Saneo 2 Liposome Ampule Sympathik 2000	Kao Sofina Cosmetic (Parfumerien Dr. Lenartz GmbH)	Aloe vera extract, rose water, soya phospholipid proteoglycan
Liosen TMH-Ampulle Natipide II Eye Perfector	Cosmetics Margot Zimmer GmbH	BRF System, Repair Factor, thymus extract
Geymonat Gerhard Klapp	Madame Nanette Biocosmetic	Aloe vera, thymus extract
Nattermann PL	Shuton (American Cyanamid)	20% liposome
Eye Perfector	Elizabeth Arden Gabriele Wyeth Kosmetik Biopharm GmbH	hydrospheres fibrostimulin
	Geymonat Gerhard Klapp	thymus extract, vitamin A palmitate, soya phospholipid
	Nattermann PL	chestnut extract, hyalur. acid mucopolysaccharide, hyaluronic acid, liposome
	Avon, NY	Liposomal gel for do-it-yourself cosmetic
		soothing cream to reduce eye puffiness

## **Etoszómák:**

Lipid (szója foszfatidilkolin) – víz – etanol keverékből létrehozott 2-3 rétegű lipidpreparátum. Mélyebben hatol be a bőrbe, mint a liposzóma. Elsősorban a szisztémásan ható gyógyszerek transzdermális bevitelében használatosak.



## **Etoszómák**



## **2. Nyálkahártyák** (pl. száj, orr)

Könnyen átjárhatók a gyógyszerek számára  
→ rövid ideig tartó helyi hatás,  
kifejezettedebb szisztémás hatás

Liposzómában hosszabb helyi és kisebb  
szisztémás hatás érhető el (pl. fekélyek  
kezelése)



## **3. Szem**

Könnyen átjárhatók a gyógyszerek számára → rövid ideig tartó helyi hatás, kifejezettedebb szisztémás hatás

Hagyományos gyógyszerek:  
- csekély penetráció a szembe  
- rövid hatástartam

Speciális molekulákat tartalmazó liposzómák a szem bizonyos részeihez nagyobb affinitással kötődnek.

Pl. cornea – gangliozid-tartalmú  
lencse – ConA tartalmú

Főleg a nagy MLV-k alkalmazásakor nő a hatóanyag koncentráció a csarnokvízben és a szem egyes részeiben.

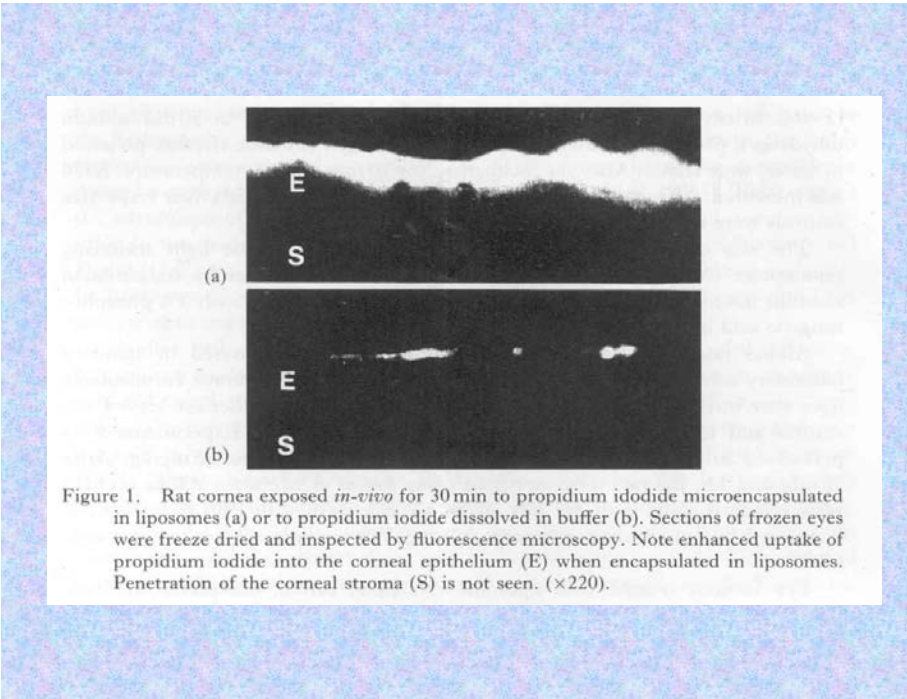


Figure 1. Rat cornea exposed *in-vivo* for 30 min to propidium iodide microencapsulated in liposomes (a) or to propidium iodide dissolved in buffer (b). Sections of frozen eyes were freeze dried and inspected by fluorescence microscopy. Note enhanced uptake of propidium iodide into the corneal epithelium (E) when encapsulated in liposomes. Penetration of the corneal stroma (S) is not seen. ( $\times 220$ ).



Fig. 1. Photographs showing gradual stages of healing and disappearance of Candida keratitis treated with: (A) fluconazole solution (first group), (B) and (C) fluconazole-loaded liposome in a rabbit (second group). (1) Before treatment. (2) One week after treatment. (3) Two weeks after treatment. (4) Three weeks after treatment.

Vírusfertőzések (herpesz, citomegalovírus) kezelésére alkalmaznak oligonukleotidokat. A liposzómák megvédik ezeket a bontóenzimek hatásától és megnöveli az üvegtestben való tartózkodásuk idejét az üvegtestbe történő injekciózás esetén.

Corneahoz kötődés erőssége szerinti sorrend: pozitív > negatív > semleges. Ez elektrosztatikus kölcsönhatásra utal.

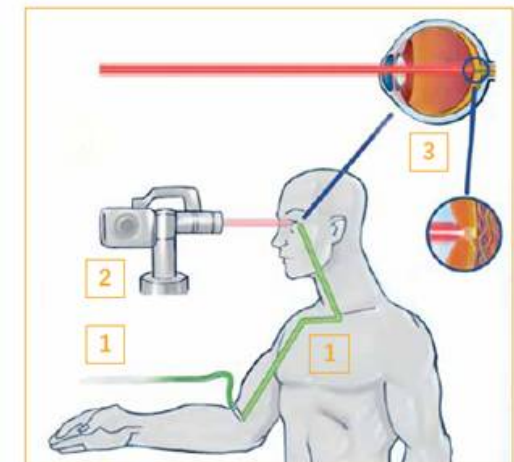
A kötődés a kettősrétegek számától is függ:

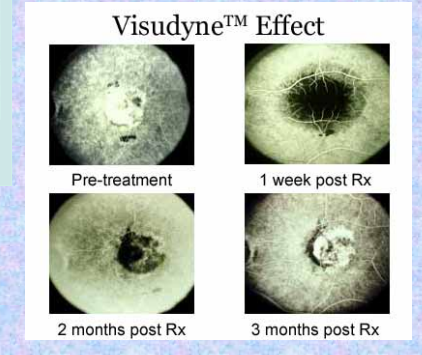
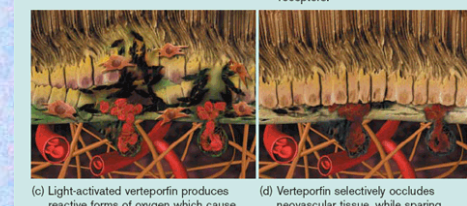
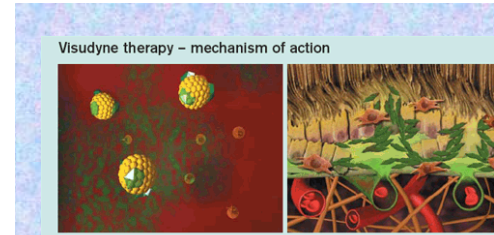
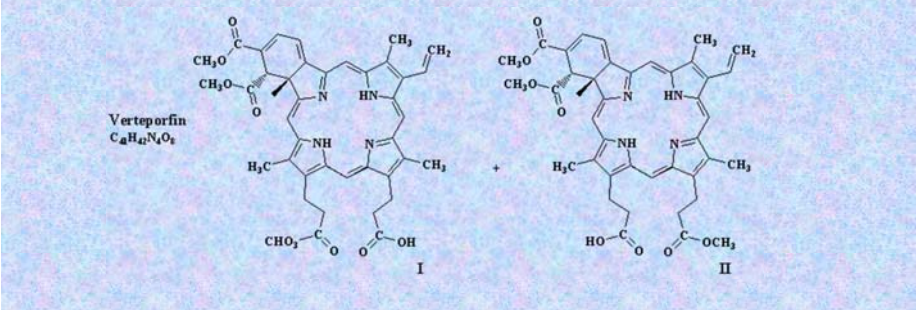
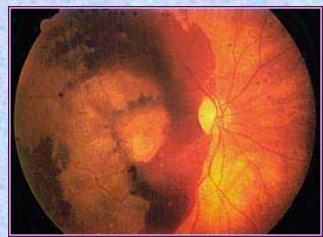
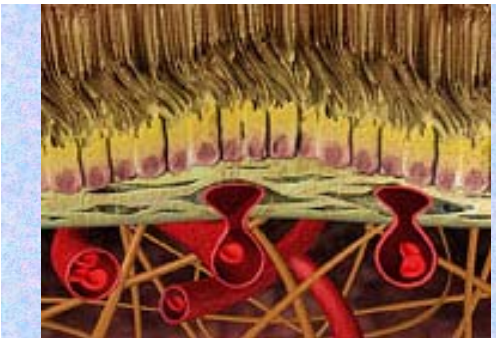
$MLV^+ > SUV^+ > MLV > SUV^- > MLV, SUV$

Acetazolamid bezárási hatásfoka és a kiszabadult hatóanyag aránya:

	Semleges	Negatív	Pozitív
Bezárás hatásfoka	41,06 %	29,27 %	49,58 %
Kiszabadult hatóanyag aránya 9 óra elteltével	33,8 %	13,36 %	26,7 %

- Időskori macula elfajulás (age-related macular degeneration - AMD) kezelése liposzómás porfirinszármazék (Visudyne) és lézerkezelés kombinációjával. (fotodinámiás terápia (PDT))





#### 4. Tüdő és légutak

Bevitel porlasztás és inhaláció során.

A tüdő felületaktív anyagához hasonló összetételű liposzómák a legjobban alkalmazhatók (főleg DPPC és PG)

A bejutás hatásfoka és mélysége főleg az aeroszol részecskeméretétől függ, nem a liposzómáétól.

A porlasztás során a bezárt anyag egy része elvész. Ennek aránya függ a liposzóma összetételétől. Kisebb liposzóma méret ill. kisebb porlasztási sebesség esetén csökken a veszteség.

A liposzómás gyógyszerbevitel előnyei:

- Megelőzi a helyi irritációt és a tüdőbeli toxikus hatást
- Meghosszabbítja a terápiás gyógyszerkoncentráció fennállási idejét
- Nagy intracelluláris gyógyszerkoncentrációt idéz elő

